

應用QPESUMS資料 迴歸估計台灣地區降雨系統移速場

李天浩¹ 張鳳吟¹ 丘君翹¹ 蔡雅婷² 黃椿喜³
劉承昕¹ 薛宏宇¹

¹台大土木系 ²多采科技有限公司
³中央氣象局預報中心



簡報內容

- ✿ 強化災害性即時天氣預報—「建置降水特徵移速預報辨識研究」計畫
- ✿ 降水系統移速場估計方法
- ✿ Advection Based Lagrangian-Eulerian Regression (ABLER)移速估計演算式
- ✿ QPESUMS雷達觀測特性
- ✿ 未來展望
 - ✿ 分區、三層尺度優化估計概念
 - ✿ 利用WRF模式產出近地面降水



「建置降水特徵移速預報辨識研究」計畫

✿ 計畫目標：

- ✿ 開發極短時強對流預報監測整合系統，
- ✿ 經由結合雷達資料及高時空解析之系集數值模式資料，
- ✿ 發展即時雨量預測技術，
- ✿ 以期強化短時0-3到0-12小時定量降水預報能力

✿ 工作方法：

- ✿ 應用雷達、系集NWP模式輸出之降雨回波資料，
- ✿ 估計降水系統移速場
- ✿ 辨識比對異質降水資料，修正誤差
- ✿ 時空融合異質資料外延預報



「建置降水特徵移速預報辨識研究」計畫

✿ 計畫背景：

- ✿ MAPLE : McGill Algorithm for Prediction by Lagrangian Extrapolation (雷達降水移速估計+Optimal Forecast Filter, 加拿大McGill University)
- ✿ ARMOR : Adjustment of Rainfall from MOdels using Radar (MAPLE + 異質影像比對修正 + 融合外延, 美國Weather Decision Technology Co.)

✿ 降水系統移速場估計方法：

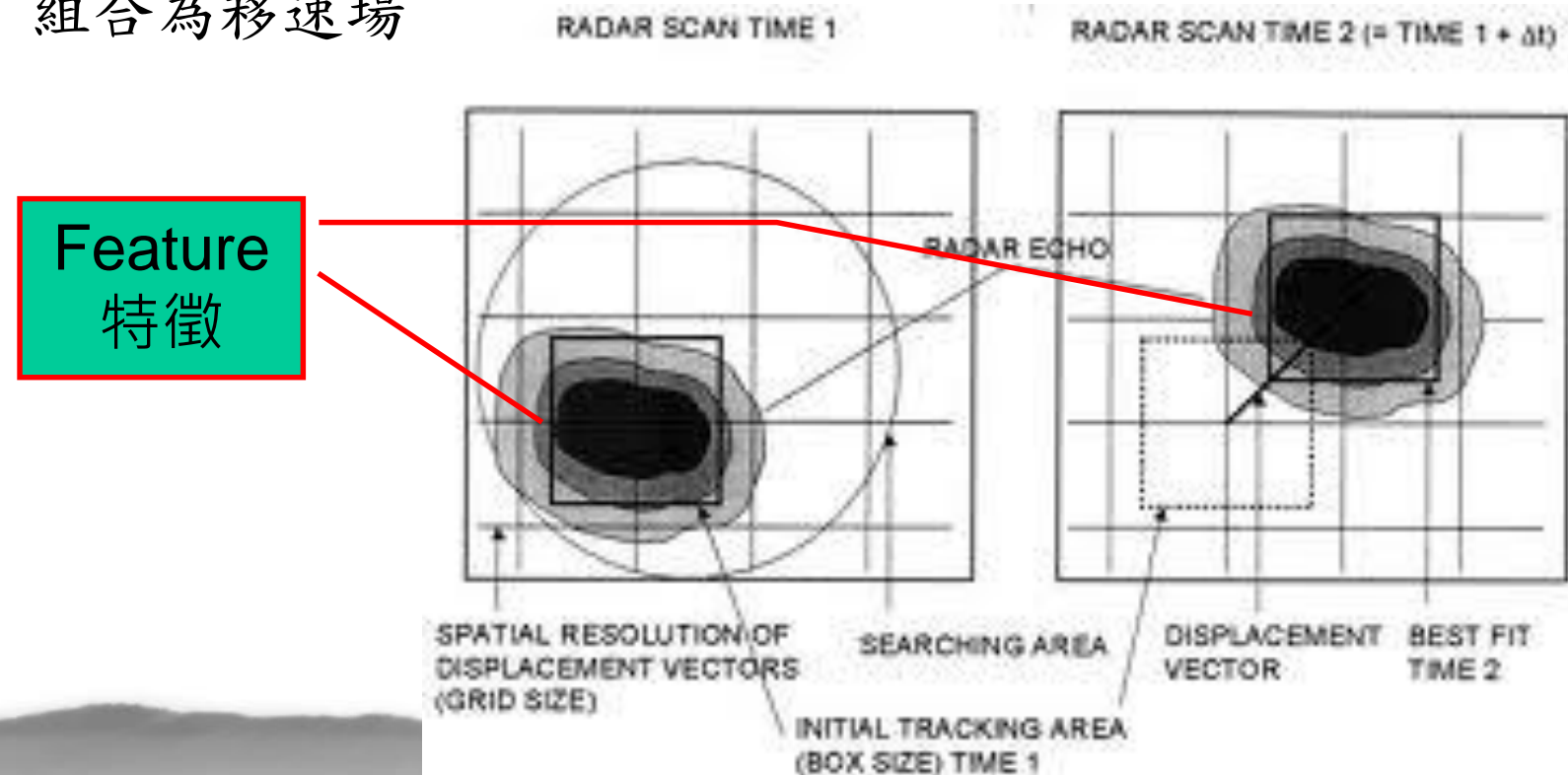
- ✿ MAPLE : Advection Equation + 變分法 (Eulerian framework)
- ✿ Takasao & Shiiba : Advection Equation + 迴歸法 (Eulerian)
- ✿ TREC : Correlation in Lagrangian framework



降水系統移速場估計方法(1/7)

✿ TREC : Tracking Radar Echo by Correlation (Lagrangian)

- ✿ 剛性box比對，不精確線性移速： $u \approx m\Delta x/\Delta t$, $v \approx n\Delta y/\Delta t$
- ✿ 以具有可辨識特徵的分段線性(piece-wise linear)移速估計組合為移速場



降水系統移速場估計方法(2/7)

✿ Takasao & Shiiba Scheme (Eulerian framework)

✿ 移流 + 源滅 (不守恆) 方程式(Advection Equation)

$$\frac{\partial \phi}{\partial t} + \hat{u} \frac{\partial \phi}{\partial x} + \hat{v} \frac{\partial \phi}{\partial y} = \hat{q}$$

✿ 上風、顯式差分之移流方程式

$$\hat{\phi}_{i,j}^t = \phi_{i,j}^{t-\Delta t} - \hat{u}_{i,j} \frac{\Delta t (\phi_{i,j}^{t-\Delta t} - \phi_{i-1,j}^{t-\Delta t})}{\Delta x} - \hat{v}_{i,j} \frac{\Delta t (\phi_{i,j}^{t-\Delta t} - \phi_{i,j-1}^{t-\Delta t})}{\Delta y} + \hat{q}_{i,j}$$

✿ 線性移速 + 源滅場

$$\hat{u}(x, y) = c_1 x + c_2 y + c_3$$

$$\hat{v}(x, y) = c_4 x + c_5 y + c_6$$

$$\hat{q}(x, y) = c_7 x + c_8 y + c_9$$

$$\hat{u}_{i,j} = c_1 x_i + c_2 y_j + c_3$$

$$\hat{v}_{i,j} = c_4 x_i + c_5 y_j + c_6$$

$$\hat{q}_{i,j} = c_7 x_i + c_8 y_j + c_9$$



降水系統移速場估計方法(3/7)

✿ Takasao & Shiiba Scheme (Eulerian framework)

✿ 估計誤差方程式

$$\begin{aligned}\varepsilon_{i,j}^t &= \phi_{i,j}^t - \hat{\phi}_{i,j}^t \\ &= \phi_{i,j}^t - \phi_{i,j}^{t-\Delta t} + \left[c_1 x_i + c_2 y_j + c_3 \right] \frac{\Delta t (\phi_{i,j}^{t-\Delta t} - \phi_{i-1,j}^{t-\Delta t})}{\Delta x} \\ &\quad + \left[c_4 x_i + c_5 y_j + c_6 \right] \frac{\Delta t (\phi_{i,j}^{t-\Delta t} - \phi_{i,j-1}^{t-\Delta t})}{\Delta y} + \left[c_7 x_i + c_8 y_j + c_9 \right]\end{aligned}$$

✿ 目標函數

$$\min L = \sum_i \sum_j \left(\varepsilon_{i,j}^t \right)^2$$



降水系統移速場估計方法(4/7)

✿ Takasao & Shiiba Scheme (Eulerian framework)

✿ 迴歸方程式

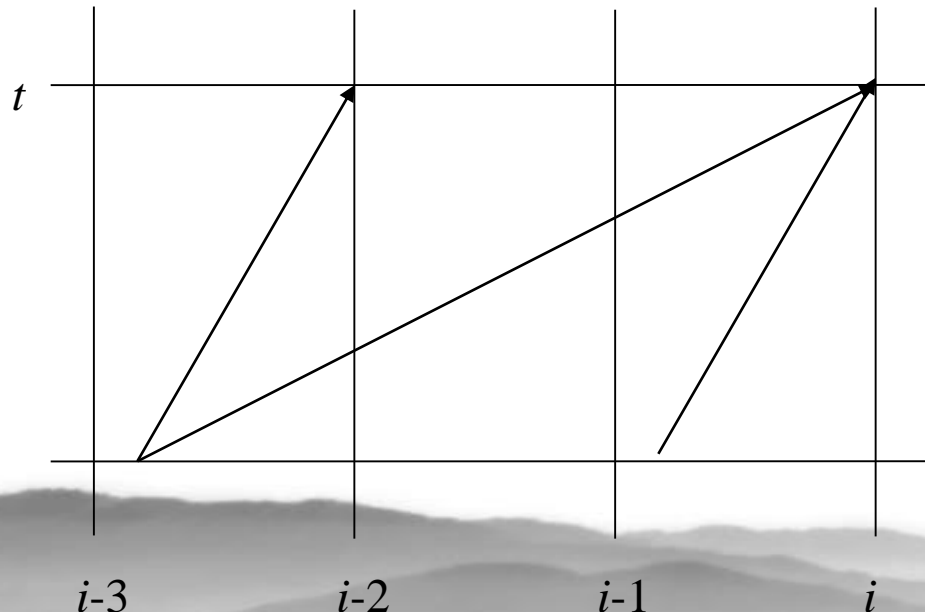
$$\frac{\partial L}{\partial c_k} = 0, \quad k = 1 \sim 9 \quad \Rightarrow \quad \begin{bmatrix} E_{11} & E_{12} & \cdots & E_{19} \\ E_{21} & E_{22} & \cdots & E_{29} \\ \vdots & \vdots & \ddots & \vdots \\ E_{91} & E_{92} & \cdots & E_{99} \end{bmatrix} \begin{bmatrix} c_1 \\ c_2 \\ \vdots \\ c_9 \end{bmatrix} = \begin{bmatrix} S_1 \\ S_2 \\ \vdots \\ S_9 \end{bmatrix}$$

$$\mathbf{c} = \mathbf{E}^{-1} \mathbf{S}$$



降水系統移速場估計方法(5/7)

- ✿ 應用 Shiiba 迴歸法估計移速場的問題：
 - ✿ QPESUMS 的空間解析度 0.0125 度、時間解析度 10 分鐘，
 - ✿ 若要符合 Courant-Friedrichs-Lowy (CFL) 條件，則降水系統移速必須小於 7.8km/hr
 - ✿ 實際上，此條件經常不能成立，應用 Shiiba 迴歸法容易導致移速場估計錯誤

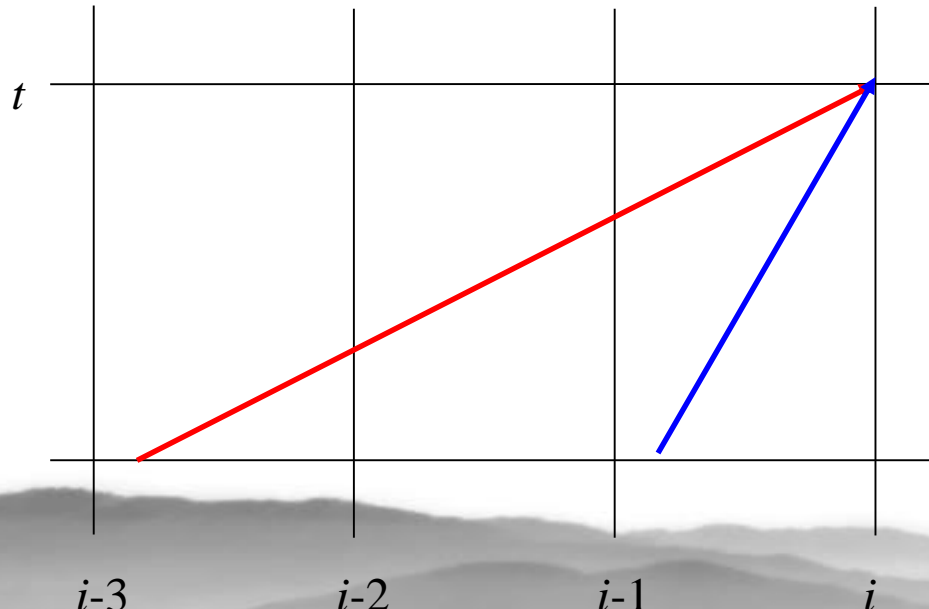


$$\frac{\partial \phi}{\partial x} \approx \frac{\phi_{i,j}^{t-\Delta t} - \phi_{i-1,j}^{t-\Delta t}}{\Delta x}$$



降水系統移速場估計方法(6/7)

- ✿ 應用 Shiiba 迴歸法估計移速場的問題：
 - ✿ QPESUMS 的空間解析度 0.0125 度、時間解析度 10 分鐘，
 - ✿ 若要符合 Courant-Friedrichs-Lowy (CFL) 條件，則降水系統移速必須小於 7.8km/hr
 - ✿ 實際上，此條件經常不能成立，應用 Shiiba 迴歸法容易導致移速場估計錯誤



$$\frac{\partial \phi}{\partial x} \approx \frac{\phi_{i,j}^{t-\Delta t} - \phi_{i-1,j}^{t-\Delta t}}{\Delta x} \quad \text{X}$$

$$\frac{\partial \phi}{\partial x} = \frac{\phi_{i-2,j}^{t-\Delta t} - \phi_{i-3,j}^{t-\Delta t}}{\Delta x} \quad \checkmark$$



降水系統移速場估計方法(7/7)

✿ MAPLE算式的目標函數： $J_{VET} = J_{Advection} + J_{Smoothness}$

$$J_{Advection} = \int_{\Omega} \beta_{i,j} \left[\phi_{i,j}^t - \hat{\phi}_{i,j}^t \right]^2 dA = \int_{\Omega} \beta_{i,j} (\Delta t)^2 \left[\frac{d\phi}{dt} \right]^2 dA$$

$$= \int_{\Omega} \beta_{i,j} (\Delta t)^2 \left[\frac{\partial \phi}{\partial t} + u \frac{\partial \phi}{\partial x} + v \frac{\partial \phi}{\partial y} \right]_{i,j}^2 dA$$

$$J_{Smoothness} = \int_{\Omega} \alpha \left[\left(\frac{\partial^2 u}{\partial x^2} \right)^2 + 2 \left(\frac{\partial^2 u}{\partial x \partial y} \right) + \left(\frac{\partial u}{\partial y} \right)^2 + \left(\frac{\partial^2 v}{\partial x^2} \right)^2 + 2 \left(\frac{\partial^2 v}{\partial x \partial y} \right) + \left(\frac{\partial^2 v}{\partial y^2} \right)^2 \right]_{i,j} dA$$



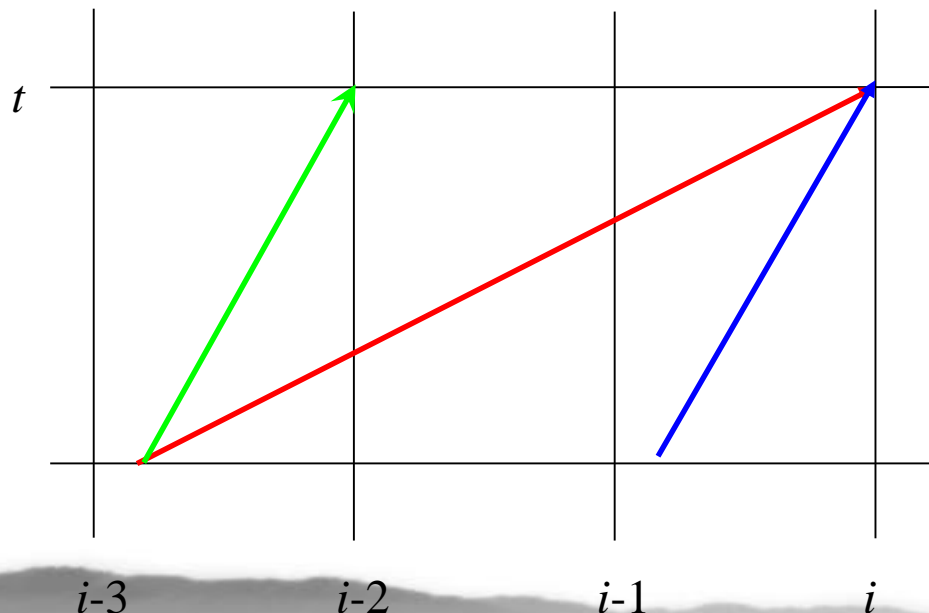
ABLER移速估計演算式(1/2)

✿ Advection Based Lagrangian-Eulerian Regression

✿ 先如TREC平移($m\Delta x, n\Delta y$)位置，再作迴歸Shiiba迴歸

✿ 假設 $m = 2 \leq u\Delta t/\Delta x \leq m + 1 = 3$

$$\frac{\partial \phi}{\partial t} + u \frac{\partial \phi}{\partial x} = q \quad \hat{\phi}_i^{t+1} = \phi_{i-2}^t - \left(\frac{\hat{u}_i \Delta t}{\Delta x} - 2 \right) (\phi_{i-2}^t - \phi_{i-3}^t) + \hat{q}_{i-2} \Delta t$$



$$u(x, y) = c'_1 x + c'_2 y + c'_3 + m^* \Delta t / \Delta x$$

ABLER移速估計演算式(2/2)

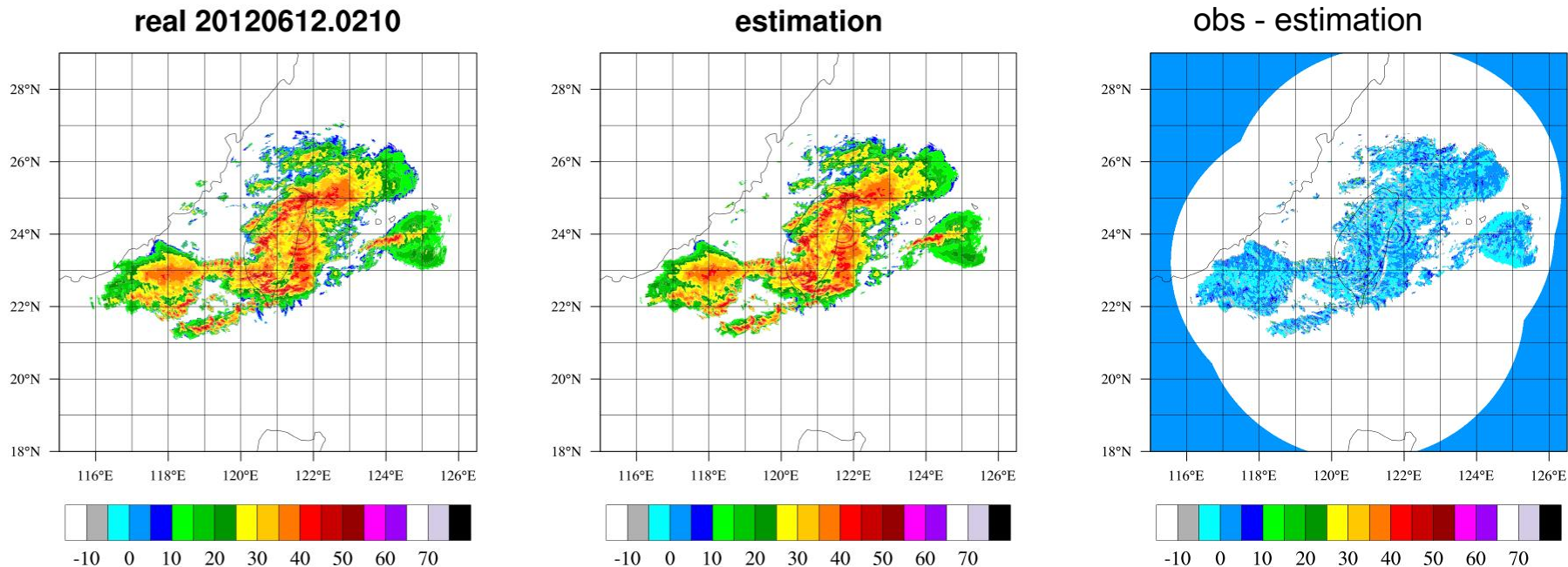
✿ Advection Based Lagrangian-Eulerian Regression

- ✿ 選擇無因次速度(庫倫數)的嘗試範圍 $|\alpha| \leq M$ 和 $|\beta| \leq N$
- ✿ 假設某組已知的(m,n)數值條件下，將時間t- Δt 時間影像，以Lagrangian架構先平移(m,n)個網格後，再利用Shiiba法迴歸估計線性速度場函數係數
- ✿ 利用迴歸解出的移速場係數，由t- Δt 時間影像，估計t時間的網格點的估計值
- ✿ 計算t時間網格點真實值和估計值之間的相關係數 $\rho(m, n)$
- ✿ 完成所有不同(m,n)值的 $\rho(m, n)$ 計算後，選擇其中相關係數最大者 $\rho'(m^*, n^*)$
- ✿ 移速估計為 $u(x, y) = c'_1 x + c'_2 y + c'_3 + m^* \Delta t / \Delta x$
 $v(x, y) = c'_4 x + c'_5 y + c'_6 + n^* \Delta y / \Delta t$

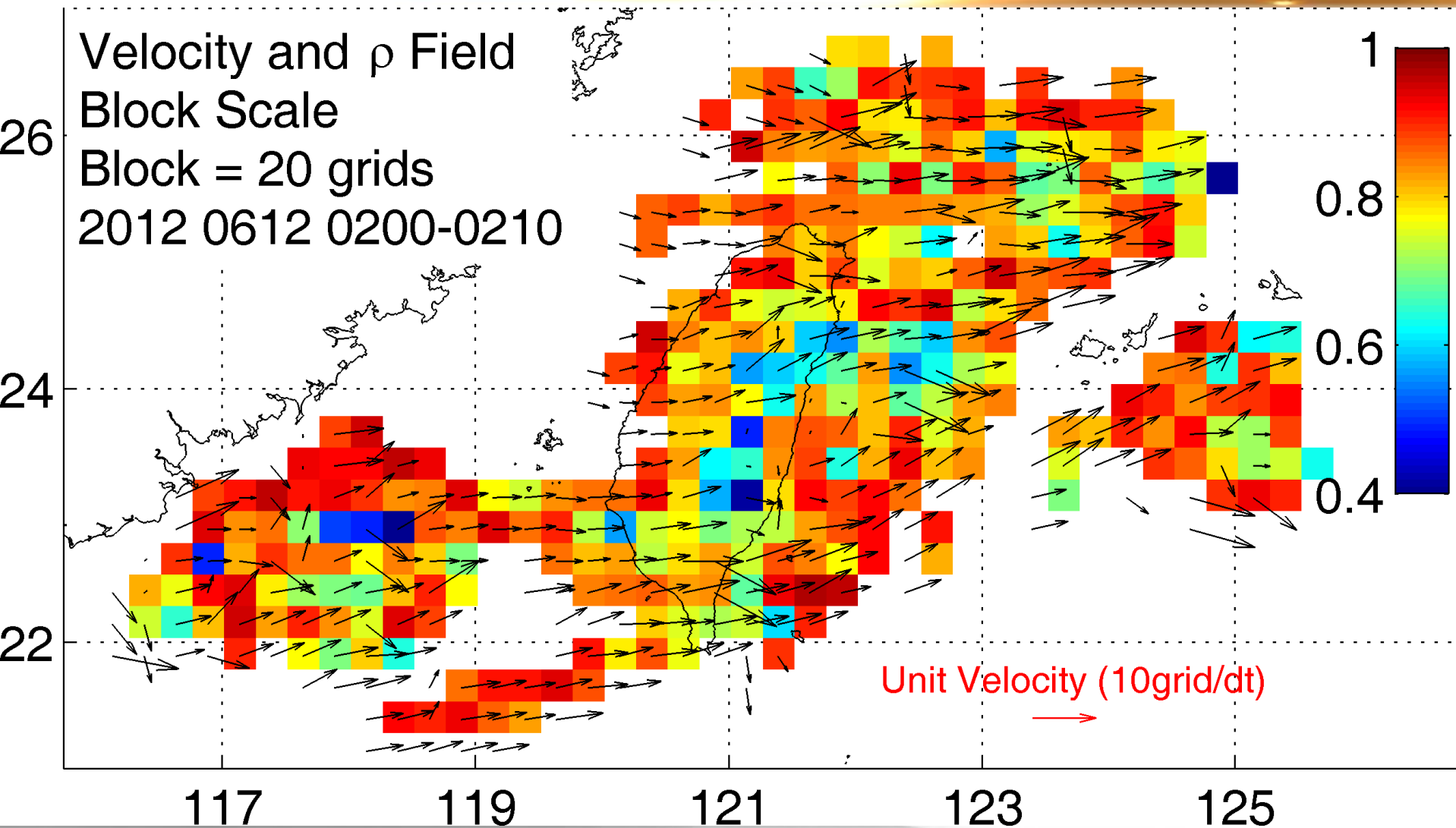


以ABLER法全域迴歸測試結果

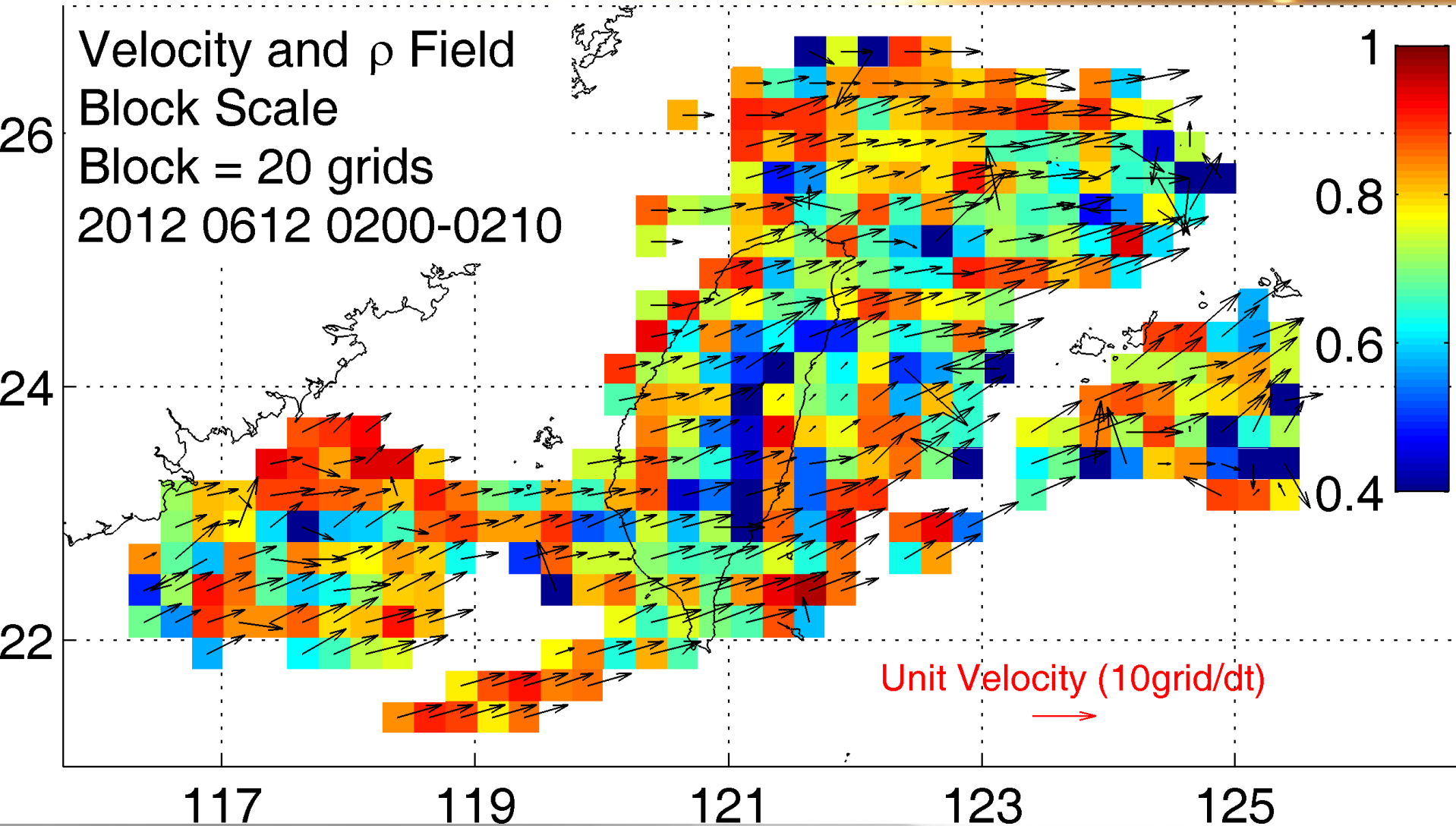
✿ 利用2012.0612.0200與0210雷達回波dbZ觀測場建立迴歸模型，檢驗0210估計結果



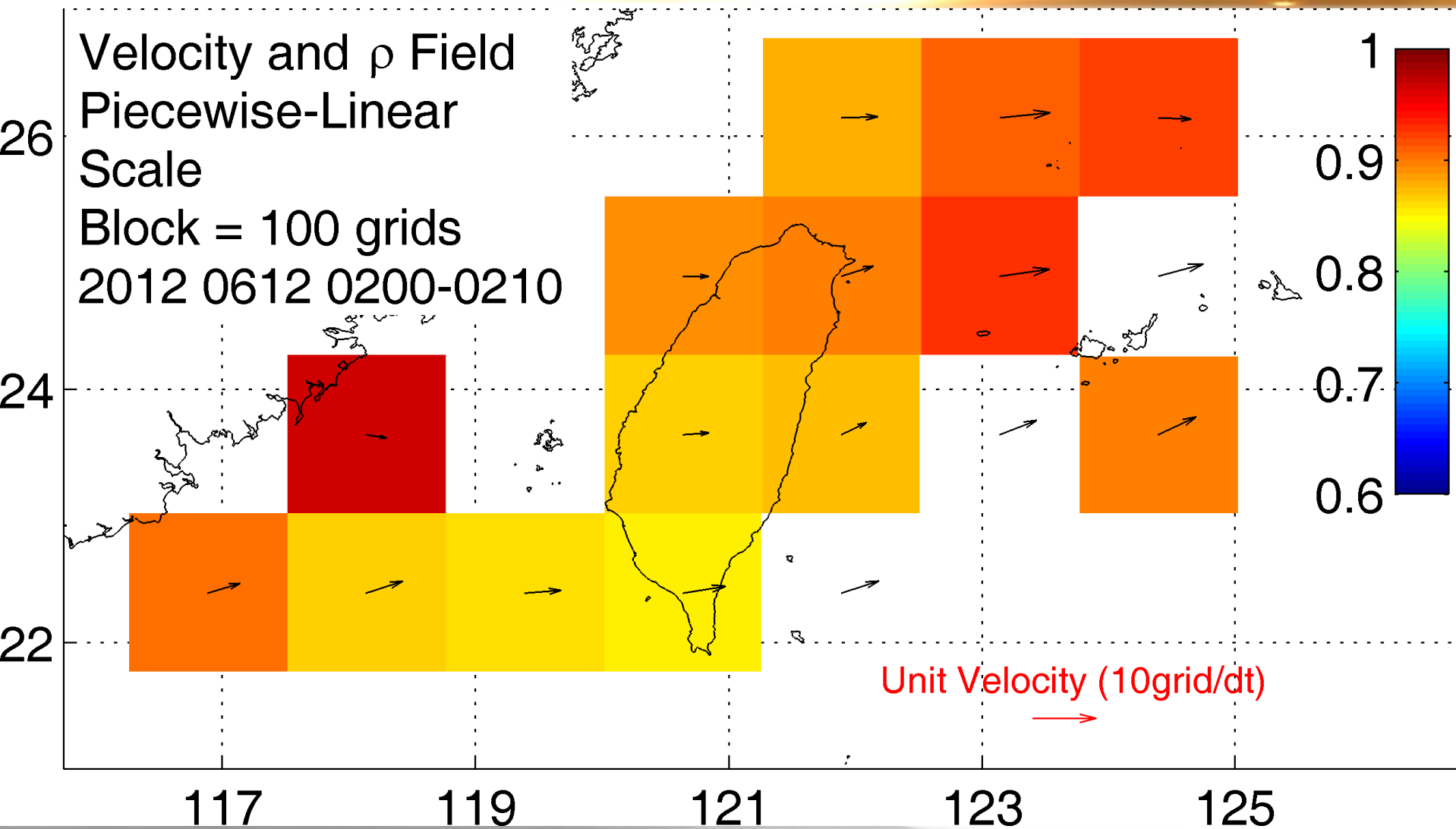
局部區塊以ABLER法迴歸



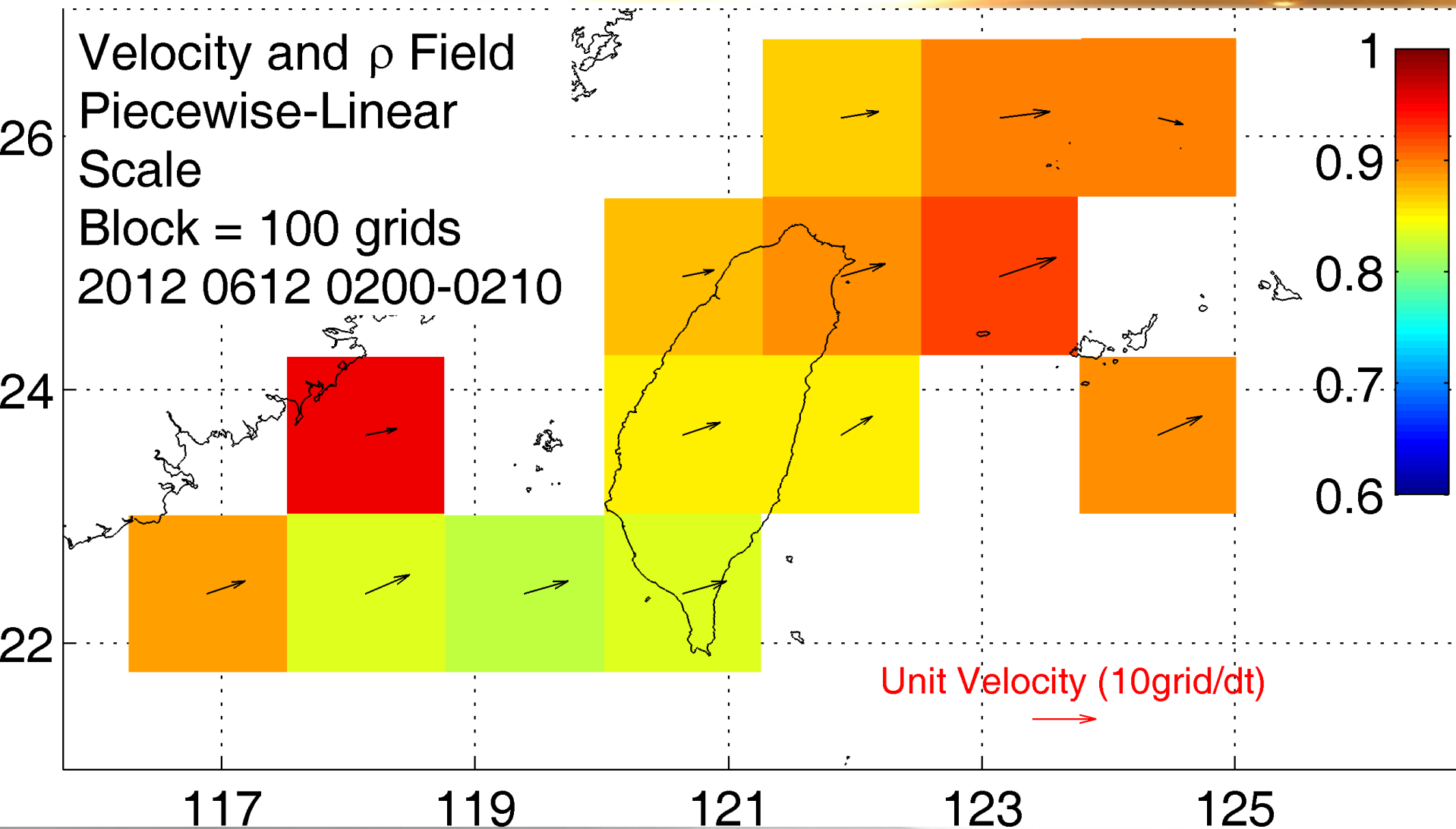
局部區塊以TREC法估計



以ABLER法分段線性迴歸



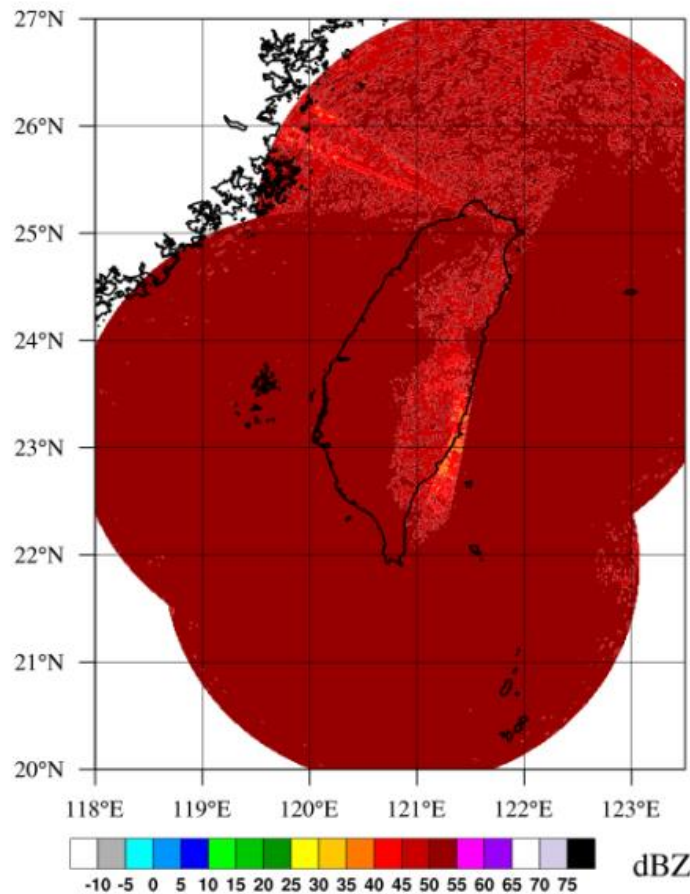
以TREC法分段線性估計



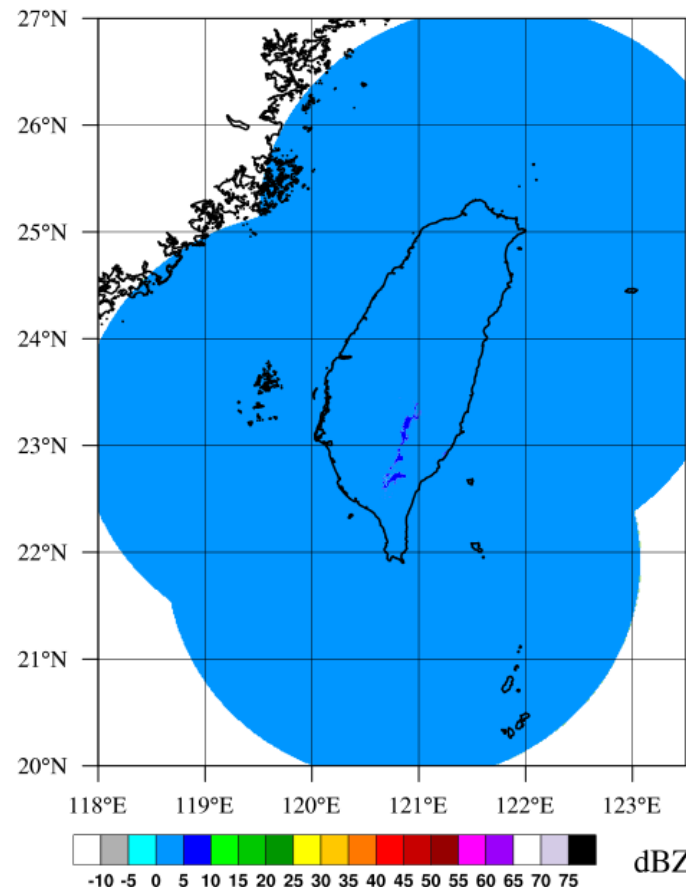
QPESUMS雷達觀測特性

- ✿ HYBREF資料，2007年，每10分鐘一筆，統計每個像元的最大值與最小值空間分布

2007 maximum distribution



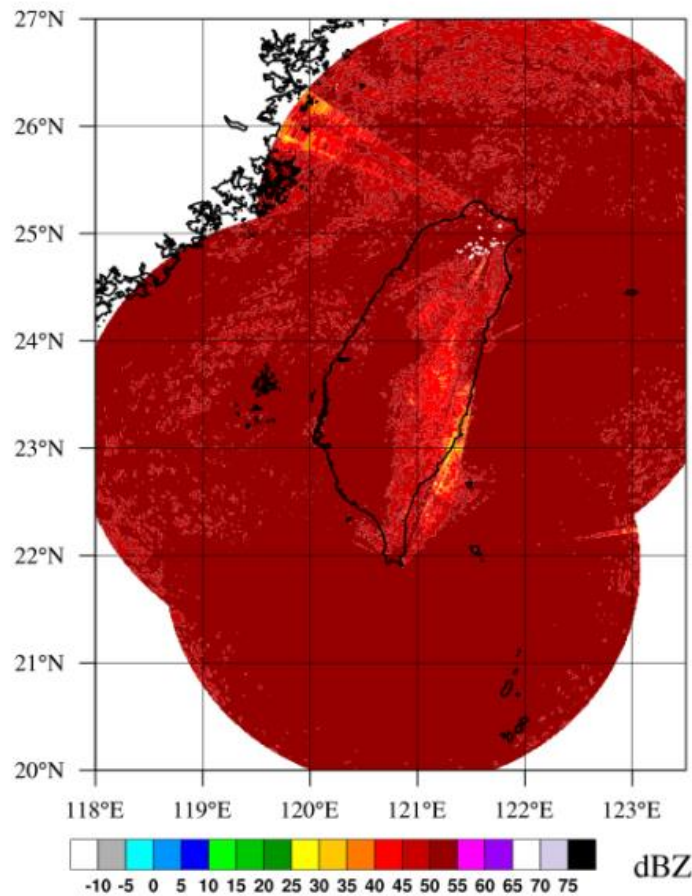
2007 minimum distribution



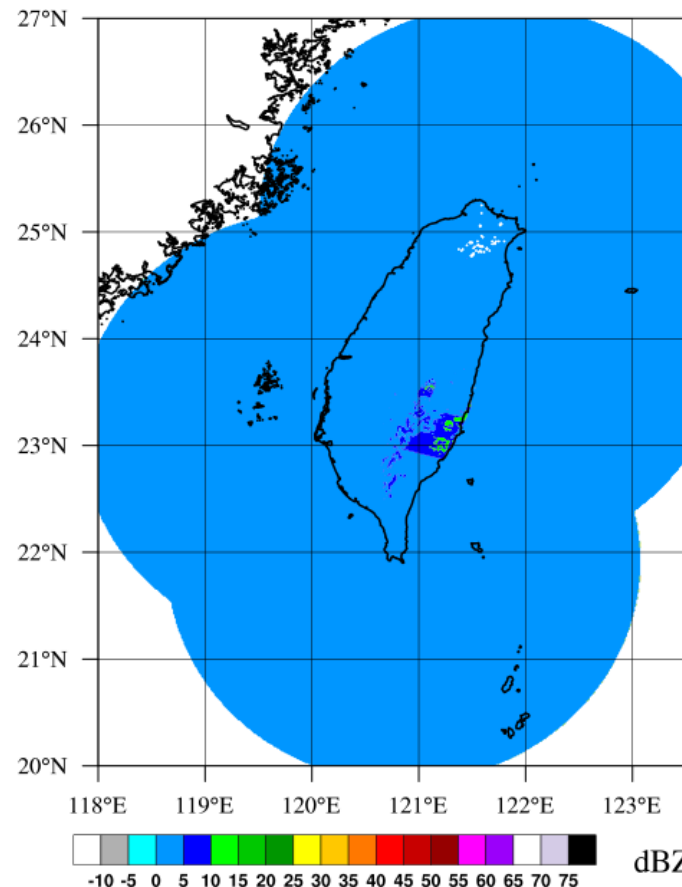
QPESUMS雷達觀測特性

- ✿ HYBREF資料，2008年，每10分鐘一筆，統計每個像元的最大值與最小值空間分布

2008 maximum distribution



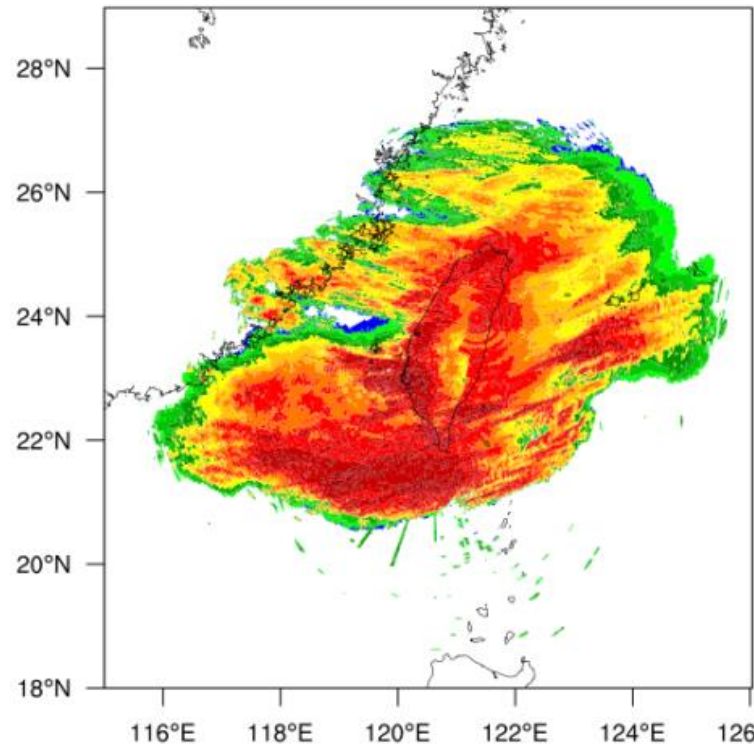
2008 minimum distribution



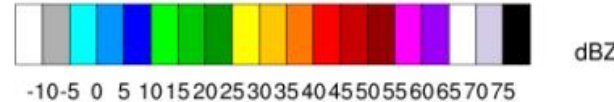
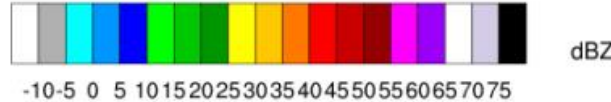
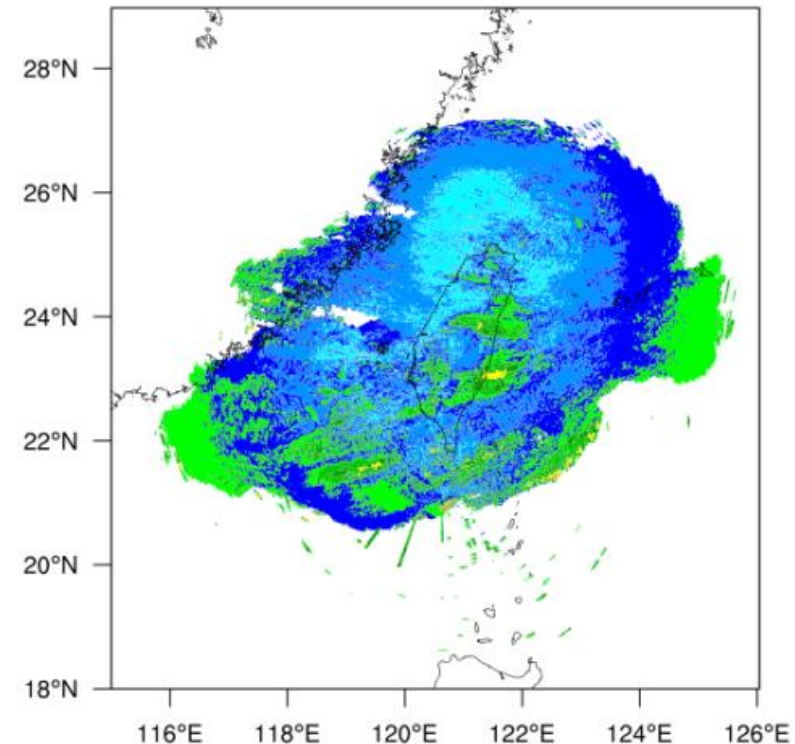
QPESUMS雷達觀測特性

- ✿ COMPREF資料，時間由2012.0612.0200至2012.0612.0940，每10分鐘一筆，統計每個像元的最大值與最小值空間分布

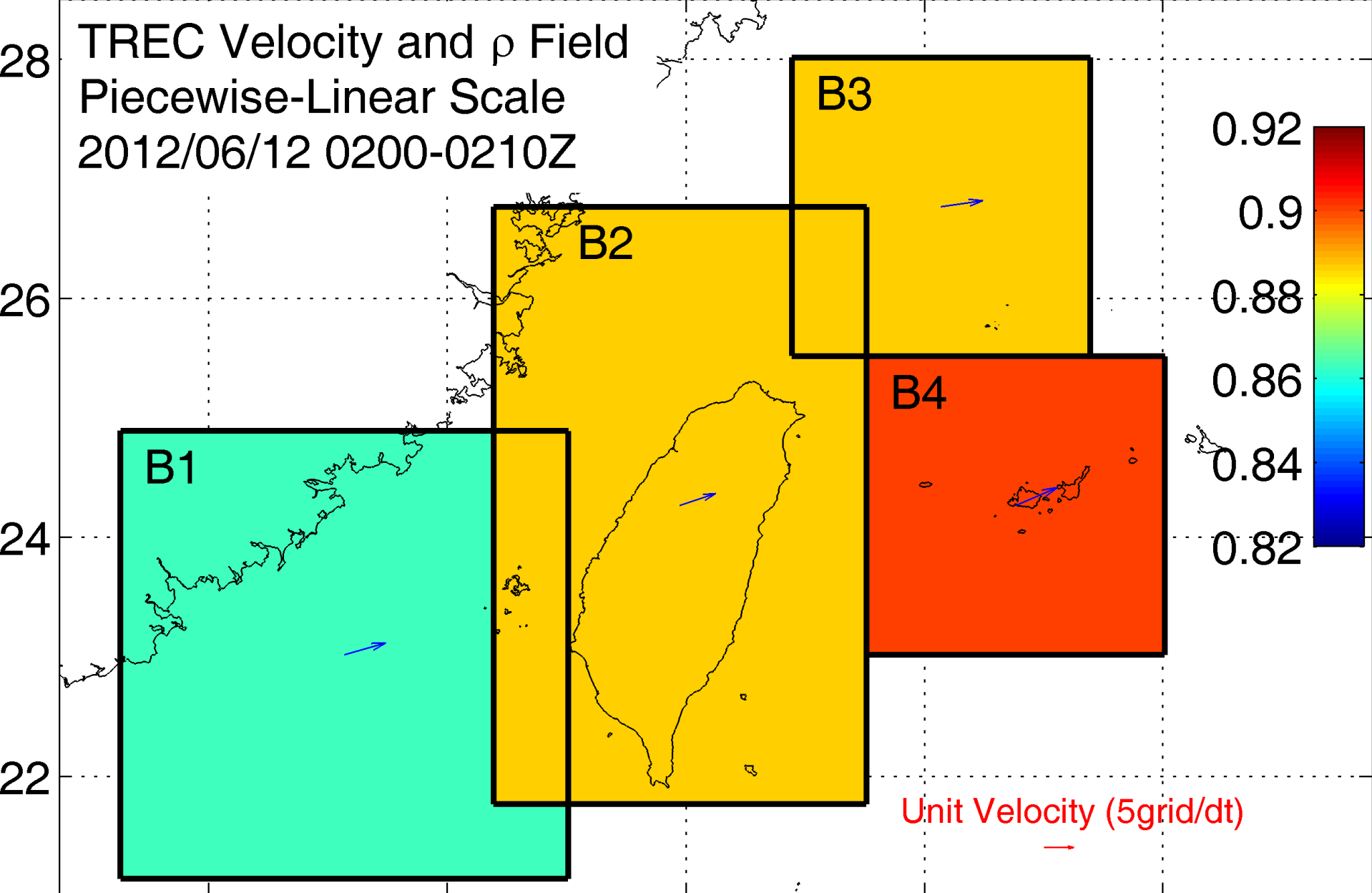
maximum distribution



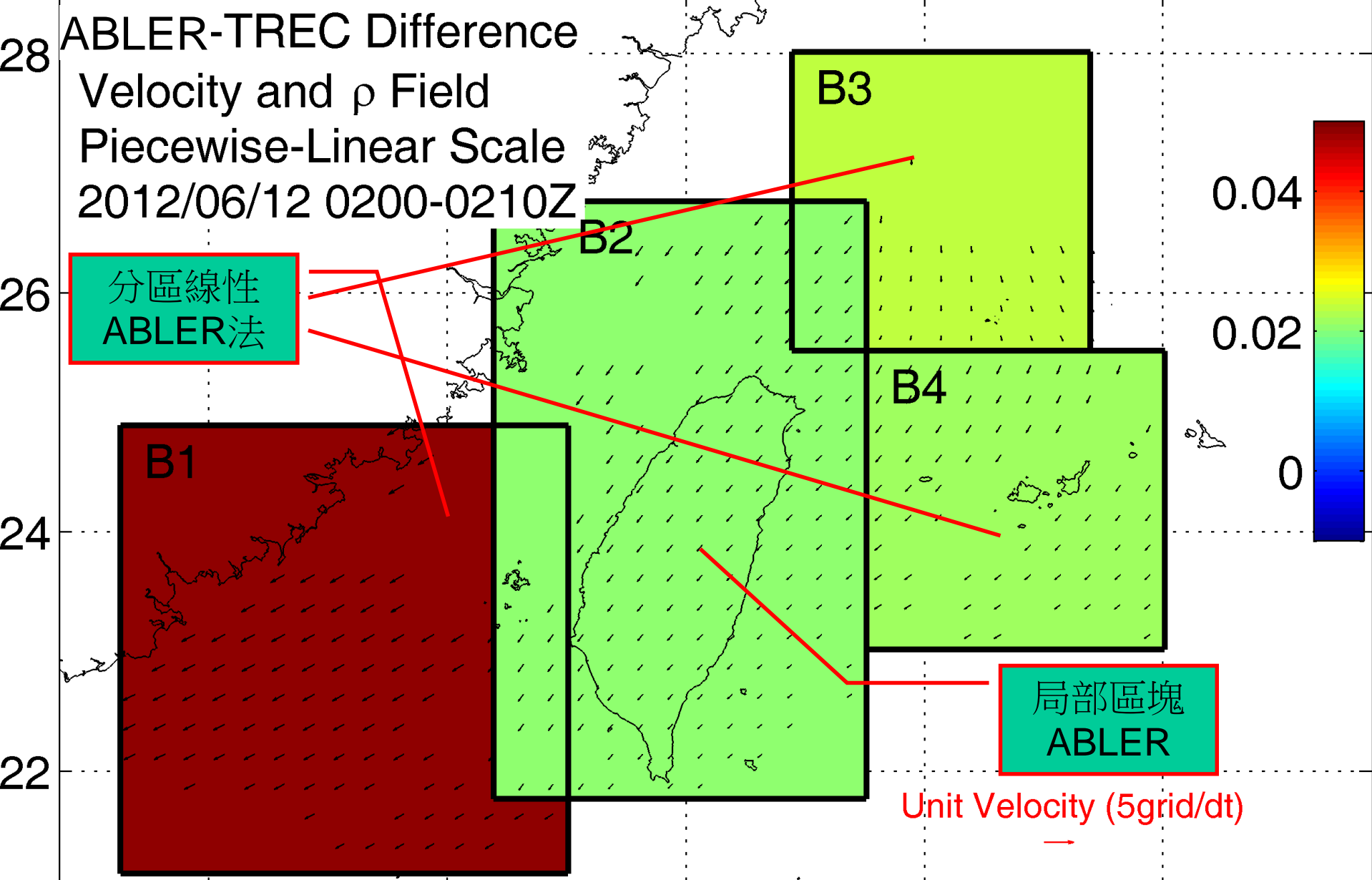
minimum distribution



未來展望：劃分區域分別迴歸

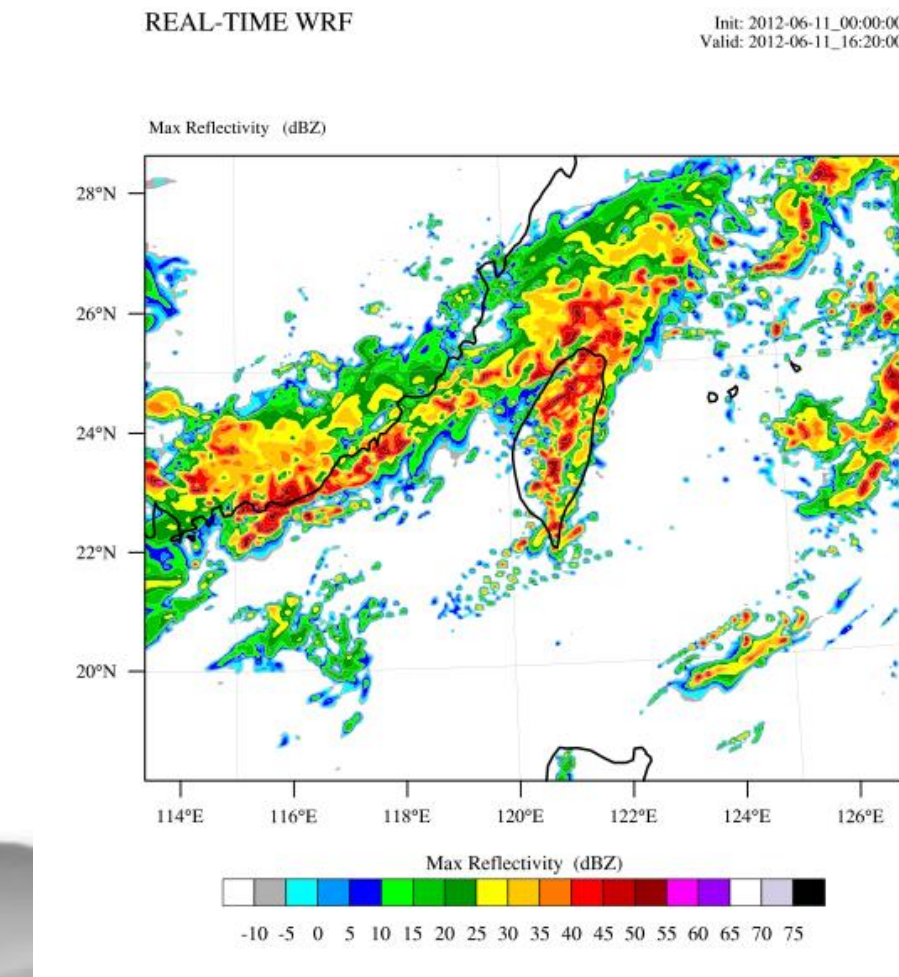


未來展望：分區、三層尺度優化估計概念



未來展望：利用WRF模式產出近地面降水

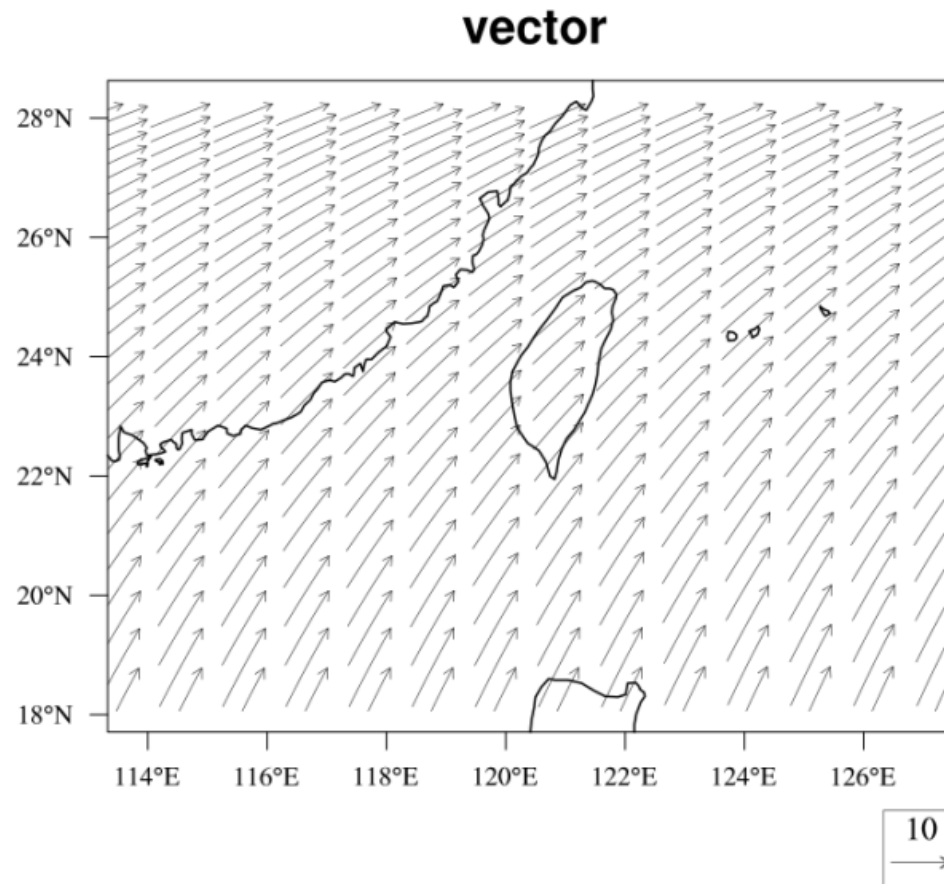
✿ 利用WRF模擬2012.0612.1610與1620資料，以ABLER迴歸檢驗預報1620結果



未來展望：利用WRF模式產出近地面降水

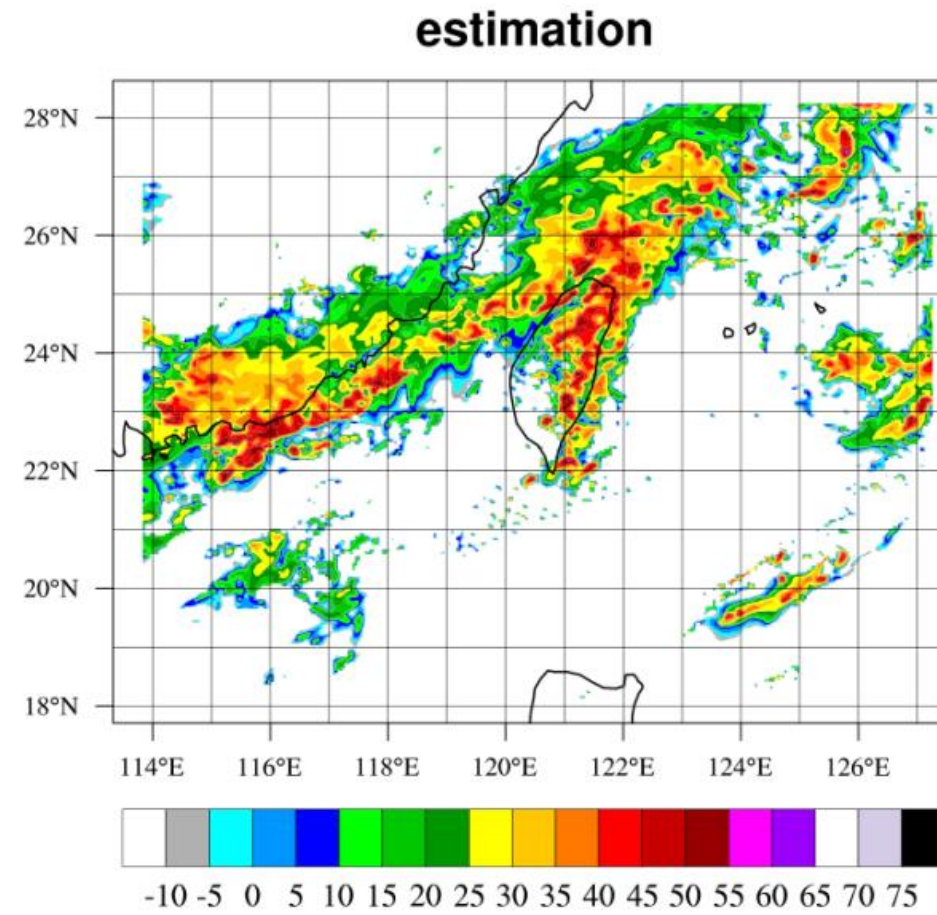
✿ 利用WRF模擬2012.0612.1610與1620資料，以ABLER迴歸檢驗預報1620結果

obs - estimation



未來展望：利用WRF模式產出近地面降水

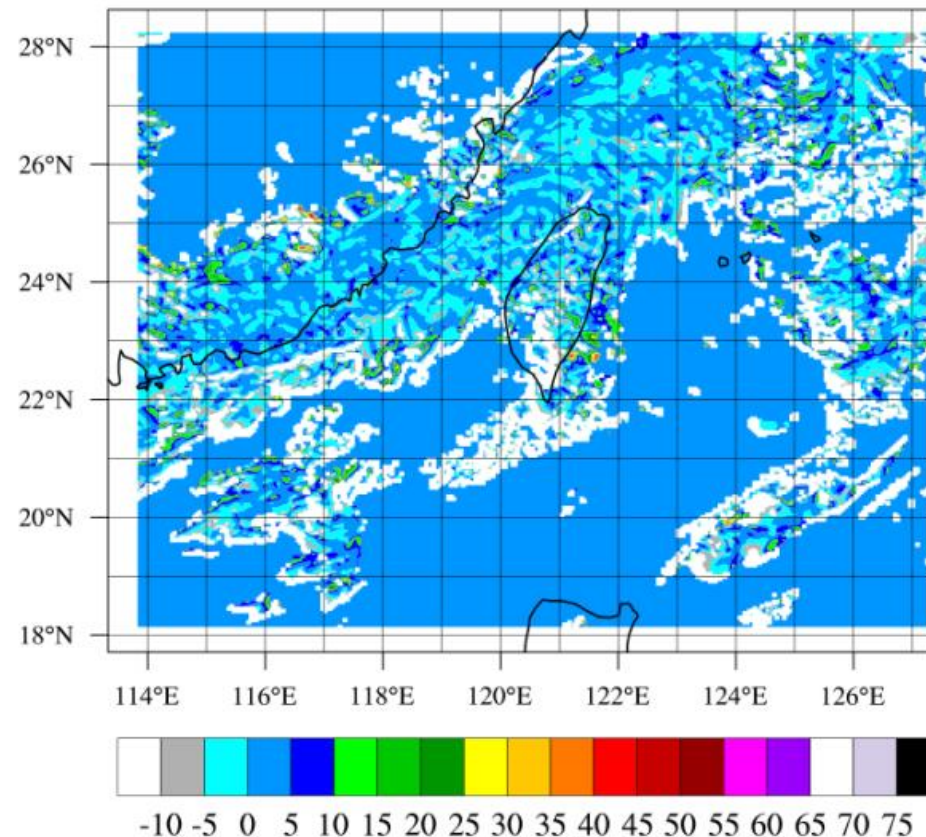
✿ 利用WRF模擬2012.0612.1610與1620資料，以ABLER迴歸檢驗預報1620結果



未來展望：利用WRF模式產出近地面降水

✿ 利用WRF模擬2012.0612.1610與1620資料，以ABLER迴歸檢驗預報1620結果

obs - estimation





感謝聆聽
敬請指教

